

На рис. 2 представлены два спектра ХПЭ, соответствующие свежеприготовленной поверхности  $\text{BaF}_2$  и поверхности, на которой уже визуально наблюдается пятно бария. Сопоставление этих спектров с литературными данными [3, 4] позволяет связать основной пик потерь со сложной структурой при 24.9 эВ с плазменными колебаниями в объеме  $\text{BaF}_2$  (пик  $b_1$ ). При длительном воздействии электронного пучка на образец высота этого пика уменьшается, увеличиваются максимумы, которые мы связываем с объемным и поверхностным плазмонами металлического Ba (пики  $b_2$  и  $s_2$ ).

Совокупность результатов, полученных методами ДМЭ, ОЭС и ХПЭ, свидетельствует о том, что под действием электронного пучка происходит разложение поверхности фтористого бария с удалением фтора и образованием сегрегаций металлического бария. Таким образом, исследование поверхности (111)  $\text{BaF}_2$  показало, что она обладает свойствами, характерными для других диэлектриков: структура поверхности ( $1 \times 1$ ), образец разлагается под действием электронного пучка.

Авторы благодарят С. Н. Журкова за постоянный интерес к работе, а также А. Н. Андронова, Е. А. Бакулина, А. С. Лукьяненко за критические замечания и полезные обсуждения.

#### Список литературы

- [1] Bandet-Faure I., Touzillier L. // Surf. Sci. 1974. V. 43. N 1. P. 183—196.
- [2] Гражулис В. А., Ионов А. М., Кулешов В. Ф. // Поверхность. 1985. № 2. С. 94—98.
- [3] Frandon J., Lahaye B., Pradal F. // Phys. St. Sol. 1972. V. B53. N 2. P. 565—575.
- [4] Nisar M., Robin S. // Pak. J. Sci. and Ind. Res. 1975. V. 17. N 2/3. P. 49—54.

Физико-технический институт  
им. А. Ф. Иоффе АН СССР  
Ленинград

Поступило в Редакцию  
7 апреля 1989 г.

УДК 548 : 537—537.311.31

Физика твердого тела, том 31, в. 9. 1989  
*Solid State Physics, vol. 31, N 9, 1989*

## ИЗМЕНЕНИЯ ПАРАМЕТРОВ ФОРМЫ ЛИНИИ ЭПР ПРИ НЕСОРАЗМЕРНОЙ КРИСТАЛЛИЗАЦИИ ДВУМЕРНЫХ СЛОЕВ $\text{HNO}_3$ , ИНТЕРКАЛИРОВАННЫХ В ГРАФИТ

А. М. Зиатдинов, Н. М. Мищенко

Интеркалированные соединения графита (ИСГ) с азотной кислотой  $\text{C}_{5n}\text{HNO}_3$  ( $n$  — индекс стадии), в которых двумерные жидкокапельные слои  $\text{HNO}_3$  ниже  $T_c \sim 250$  К кристаллизуются, образуя квазидвумерный несоразмерный с графитом кристалл [1, 2], привлекают к себе повышенное внимание как объекты, удобные для изучения различных аспектов явления двумерной кристаллизации в периодическом внешнем потенциале. В настоящей работе сообщается об обнаружении и результатах изучения в ИСГ  $\text{C}_5\text{HNO}_3$  ранее неизвестных особенностей изменения параметров формы линии ЭПР при двумерной кристаллизации интеркалата с образованием несоразмерной структуры.

Синтез ИСГ  $\text{C}_5\text{HNO}_3$  проводился на пластинках высокоориентированного пиролитического графита с ширинами  $l$  в интервале 0.050—0.225 см при высоте  $h=0.5$  и толщине  $d=0.01$  см традиционным способом [3]. ЭПР измерения в  $X$  ( $Q$ )-диапазоне проводились в прямоугольном (цилиндрическом) резонаторе с модой  $TE_{102}$  ( $H_{011}$ ) при 100 кГц ВЧ модуля-

ции в температурном интервале 100–300 К. В резонаторе пластинки ИСГ располагались таким образом, чтобы базовые и две его боковые грани ( $h \times d$ ) были параллельны магнитной компоненте СВЧ поля  $\tilde{H}$ . В области  $T_c$  температура изменялась ступенчато с шагом  $\Delta T \approx 0.2^\circ$  и поддерживалась с точностью  $\sim 0.1^\circ/\text{ч}$ .

От всех пластинок ИСГ  $\text{C}_5\text{HNO}_3$  в обеих его фазах наблюдается сигнал ЭПР с аксиальной относительно  $c$ -оси графита угловой зависимостью и  $g_{\parallel} = 2.0023 \pm 0.0001$ ,  $g_{\perp} = 2.0028 \pm 0.0001$ . Опираясь на выявленную зависимость параметра асимметрии первой производной ЭПР поглощения  $A/B$  от  $l$  (рис. 1) [4], для температурных исследований в  $X$ -диапазоне

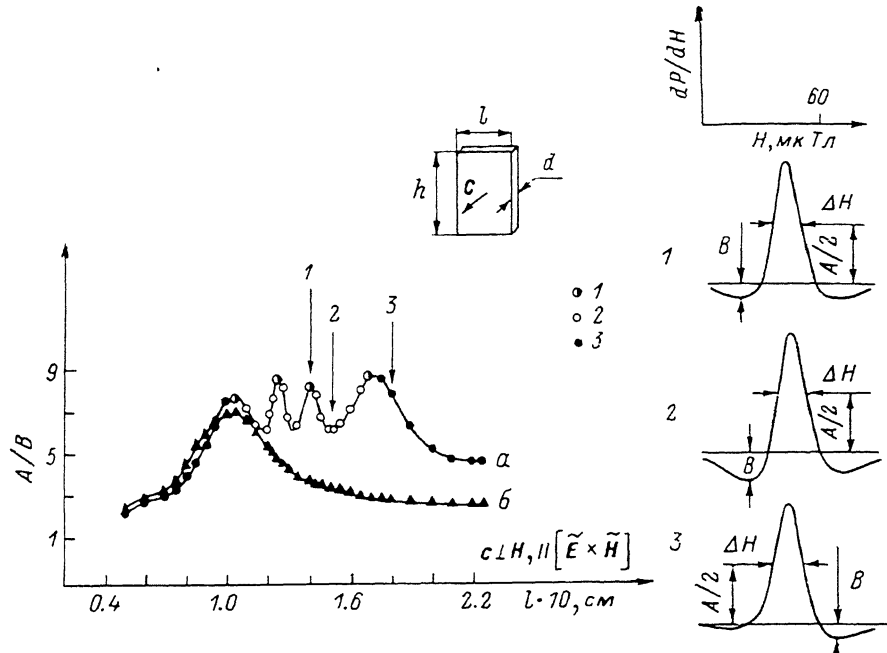


Рис. 1. Зависимость параметра асимметрии  $A/B$  первой производной линии ЭПР поглощения пластинок ИСГ  $\text{C}_5\text{HNO}_3$  при  $c \perp \mathbf{H}$  для 273 К ( $T > T_c$ ) (a) и 235 К ( $T < T_c$ ) (б).

Вверху — пластинка ИСГ; справа — сигналы ЭПР ИСГ для отмеченных стрелками значений  $l$ . Точкам 1—3 отвечают линии типа 1—3.  $v=9.52$  ГГц,  $d=10^{-2}$  см,  $h=0.5$  см.

были отобраны пластинки с  $l^* = 0.18$  см, у которых изменение  $A/B$  при фазовом переходе близко к максимальному, и образцы с  $l > 0.22$  см, которым соответствуют значения  $A/B$  из «плато» кривых  $A/B$  (1). Режим прохождения фазового перехода был выбран исходя из результатов исследований температурной зависимости времени  $\Delta t$  с момента ступенчатого изменения температуры на  $\Delta T$  до выхода на насыщение пиковой интенсивности сигнала ЭПР. При охлаждении (нагревании) при  $T_c^- (T_c^+) = -250 \pm 0.5$  ( $253 \pm 0.5$ ) К зависимость  $\Delta t (T)$  имеет четкий максимум (рис. 2). Указанная температура принималась в дальнейшем за температуру фазового перехода.

При  $T > T_c^-$  ширина  $\Delta H$ ,  $A/B$  и интегральная интенсивность  $J$  ( $J = -(A+B)\Delta H^2$ ) линии от температуры не зависят (рис. 2). При  $T_c^-$  все указанные параметры линии испытывают скачок. В кристаллической фазе интеркалата  $\Delta H (J)$  при понижении температуры увеличивается (уменьшается). Одновременно  $A/B$  образцов с  $l^*$  ( $l > 0.22$  см) убывает до  $2.9 \pm 0.1$  ( $2.5 \pm 0.1$ ) в насыщении, достигаемом при  $T \leq 100$  К. Кривая  $\Delta H (T)$  в интервале  $T_c^- - 10 < T < T_c^-$  имеет характерную особенность: она состоит из нескольких практически линейных участков с различными тангенсами угла наклона. Примечательно, что один из них, наблюдаемый при  $(T_c^- - 2.7)$  К  $< T < (T_c^- - 1.9)$  К, параллелен оси абсцисс. При этом

в указанном интервале температур не изменяется и интегральная интенсивность сигнала. При увеличении температуры значения параметров линии ЭПР изменяются в обратной последовательности, однако с «глобальным» температурным гистерезисом. Обращает на себя внимание, что переходы между соответствующими линейными участками кривой  $\Delta H(T)$  данного образца независимо от направления изменения температуры происходят при одних и тех же значениях параметров линии. При мощностях СВЧ поля, далеких от насыщения, и одних и тех же  $T$  значение  $\Delta H$  в  $Q$ -диапазоне на  $\sim 15\%$  больше, чем в  $X$ -диапазоне.

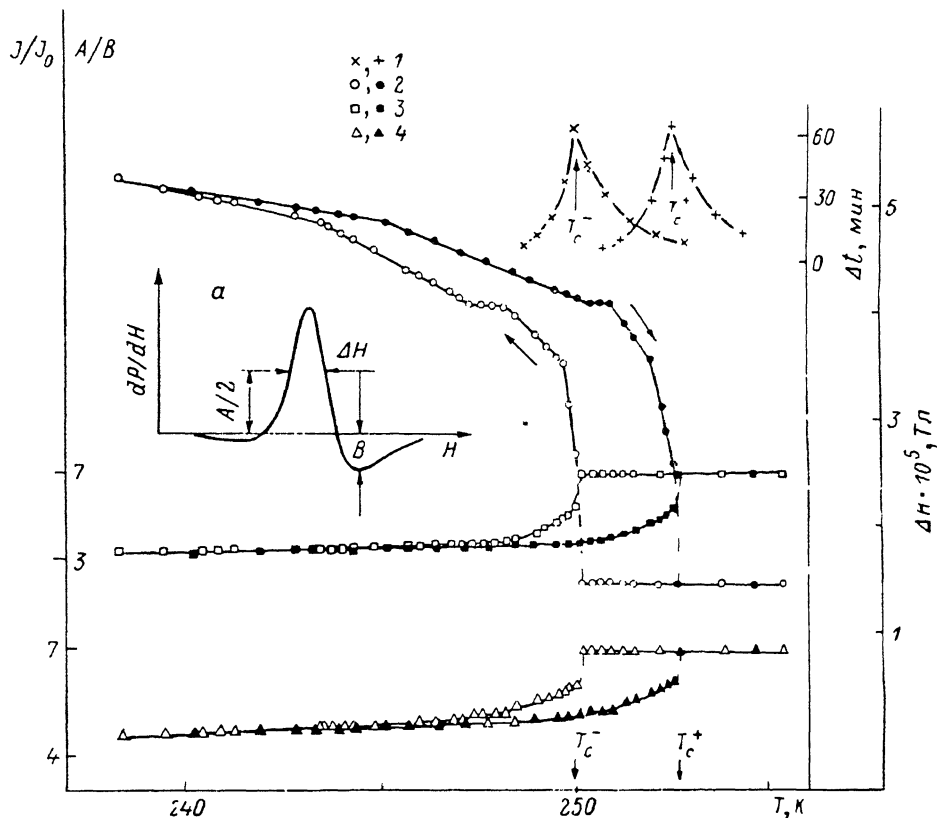


Рис. 2. Зависимости  $\Delta t$  (1) и параметров линии ЭПР ИСГ  $C_5HNO_3$   $\Delta H$  (2),  $A/B$  (3),  $J/J_0$  (4) ( $J_0$  — интенсивность эталонного сигнала) от температуры при кристаллизации (плавлении) интеркалата.

Точки — экспериментальные значения параметров при охлаждении (нагревании) ИСГ.  $a$  — характеристическая линия ЭПР ИСГ.  $\nu = 9.52$  ГГц,  $d = 10^{-2}$  см,  $h = 0.5$  см,  $t^* = 0.18$  см.

Согласно [5, 6], многопиковая форма кривой  $A/B(l)$  с областями «перевернутой» фазы формы линии и с выходом при больших  $l$  на «плато» с  $A/B > 2.55$  однозначно свидетельствует о высокой подвижности носителей спинов при  $T > T_c^-$ . И наоборот, однопиковый вид зависимости  $A/B(l)$  с выходом при больших  $l$  на «плато» с  $A/B = 2.55$  является типичным для локализованных спинов в металлах [3]. Т. е. в кристаллической фазе интеркалата присутствуют медленно диффундирующие спины, локализующиеся в масштабе времени ЭПР, при  $T < 100$  К. Неизменность значений  $g$ -тензора носителей спинов при изменении агрегатного состояния интеркалата и их близость к  $g$ -фактору свободных электронов свидетельствуют о том, что плотность их вероятности на молекулах интеркалата мала и не изменяется при фазовом переходе. Слабая частотная зависимость  $\Delta H$  указывает, что ее рост ниже  $T_c^-$  не обусловлен увеличением степени разброса осей и(или) значений  $g$ -тензора. Сказанное, в том числе «неметаллическое» поведение  $\Delta H$  при охлаждении ИСГ ниже  $T_c^-$  и корреляция значений  $\Delta H$  и величины обратной концентрации спинов,

позволяет предположить, что наблюдаемый сигнал ЭПР является результатом динамического усреднения спектров электронов проводимости и локализованных носителей спинов (по-видимому, «дырок» на  $p_z$ -орбиталах углерода) вследствие быстрых кросс-релаксационных переходов между этими двумя слабо связанными с решеткой спиновыми подсистемами (эффект электронного «узкого горла» [7]). В рамках такого понимания природы сигнала ЭПР ИСГ уширение линии и стремление ее  $A/B$  при понижении температуры до значений, характерных для локализованных спинов, следует рассматривать как следствие уменьшения (из-за уменьшения концентрации локализованных спинов) вероятностей усредняющих кросс-релаксационных переходов (открывание «узкого горла»).

Ступенчатые температурные изменения параметров формы линии ЭПР, схожие с описанными для линии ЭПР несоразмерной фазы ИСГ  $C_5HNO_3$ , были впервые обнаружены в солитонном режиме модуляции решеточных смещений кристаллов  $MgSiF_6 \cdot 6H_2O : Mn^{2+}$  [8, 9] и  $MgGeF_6 \cdot 6H_2O : Mn^{2+}$  [9, 10]. Позже такого же типа температурные изменения физических свойств материалов в их несоразмерной фазе были выявлены при измерениях оптического двулучепреломления кварца [11], электросопротивления  $TaS_3$ , [12] и диэлектрических свойств  $S_{1-x}O_x(ND)_2$  [13]. Результаты всех этих исследований позволяют предположить обнаружение нового свойства несоразмерных систем, не сводящегося однозначно к известной «дьявольской лестнице» дискретных изменений волнового вектора модуляции [14] и не имеющего пока удовлетворительного теоретического объяснения.

#### Список литературы

- [1] Samuels E.-J., Moret R., Fuzellier H., Klatt M., Lelaurain M., Herold A. // Phys. Rev. B. 1985. V. 32. N 1. P. 417—427.
- [2] Clark R., Hernandez P., Homma H., Montague E. // Synth. Metals. 1985. V. 12. N. 1. P. 27—32.
- [3] Bottomley M. J., Parry G. S., Ubbelohde A. R. // Proc. Roy. Soc. London. 1964. V. A297. N. 2. P. 291—302.
- [4] Ziatdinov A. M., Mishchenko N. M., Tsvetnikov A. K. // Abstr. 24 Congress AMPERE on Magnetic Resonance and Related Phenomena. Poznan, 1987. P. B21.
- [5] Kodera H. J. // Phys. Soc. Jap. 1970. V. 28. N. 1. P. 89—98.
- [6] Blinowski J., Kacmar P., Rigaux G., Saint-Jean M. // Synth. Met. 1986. V. 12. N. 4. P. 419—423.
- [7] Barnes S. E. // Adv. in Phys. 1981. V. 30. N. 6. P. 801—938.
- [8] Зиатдинов А. М., Куряный В. Г., Давидович Р. Л. // ФТТ. 1985. Т. 27. № 7. С. 2152—2154.
- [9] Зиатдинов А. М., Куряный В. Г., Давидович Р. Л. // Тез. докл. VIII Всес. феофиловского симп. по спектроскопии кристаллов, активированных ионами редкоземельных и переходных металлов. Свердловск, 1985. С. 141.
- [10] Зиатдинов А. М., Куряный В. Г., Давидович Р. Л. // ФТТ. 1987. Т. 29. № 1. С. 215—218.
- [11] Dolin G. // Jap. J. Appl. Phys. Suppl. 1985. V. 24. N. 2. P. 153—156.
- [12] Wang Z. Z., Ong N. P. // Physica. 1986. V. B143. N. 1. P. 100—113.
- [13] Onodera A., Denoyer F., Godard J. // Phys. Soc. Jap. 1988. V. 57. N. 7. P. 2284—2287.
- [14] Bak P. // Rep. Prog. Phys. 1982. V. 45. N. 2. P. 587—629.

Институт химии ДВО АН СССР  
Владивосток

Поступило в Редакцию  
10 апреля 1989 г.